



Странное излучение и феномен Н.Кулагиной: странные параллели

Влад Жигалов

Н.С. Кулагина (1926 – 1990)

- Исследования феномена начались с публичных демонстраций в 1964 г.
- Многократно зафиксированное явление телекинеза в различных лабораториях
- Несколько лабораторий и институтов выполняли физические и биологические исследования в течение ~25 лет
- Парадоксальные явления были зафиксированы, но не были объяснены
- Ни одного случая мошенничества в ходе экспериментов не было обнаружено

Кто исследовал?

- Лаборатория в ЛИТМО под рук. Г.Н. Дульнева
- И.К. Кикоин, Ю.В. Гуляев, Ю.Б. Кобзарев
- Лаборатория в ИРЭ (Ю.В. Гуляев, Э.Э. Годик)
- ИЗМИРАН (Э.С. Горшков)
- Ленинградский институт нейрохирургии им. Поленова
- ЛГУ
- МГУ
- Институт метрологии им. Менделеева
- Институт хим. физики (П.И. Антонов) и др.
- Многочисленные демонстрации в различных институтах

Макро-телекинез Кулагиной

- Перемещение легких предметов по поверхности стола на расстояния до 10...30 см
- Расстояние от рук до предметов: 5...30 см
- Двигались предметы весом несколько грамм, металлические и диэлектрические
- В основном предметы были ориентированы в вертикальном направлении
- Движение удавалось и под сплошным колпаком из различных материалов, в т.ч. под клеткой Фарадея
- Движение не удавалось в вакууме

Фрагмент фильма «9 лет с экстрасенсами» (Киевнаучфильм, 1990 г)



Биологическое действие

- Жжение при действии на кожу
- Медико-биологические эффекты
- «В 1977 году в институте химической физики АН СССР под руководством профессора П.И.Антонова группой его сотрудников были проведены опыты по воздействию излучения Н.С.Кулагиной на мышей. Пять мышей были облучены рентгеновским излучением в дозе 700 рентген. 2 мыши были оставлены в контрольной труппе и погибли через 15 мин. На остальные 3 мыши воздействовала Н.С.Кулагина, мыши оставались живыми в течение четырех часов.»

Воздействие на аналитические весы

- «Сбалансированные весы были установлены на столе на расстоянии 30-40 см от рук оператора, который с помощью неподвижных или слегкадвигающихся по вертикали ладоней дистантно воздействовал на чашку весов, закрытую стеклянным экраном (6 мм). Через некоторое время чашка весов резко опустилась вниз и прибор "зашкаливал", т.е. показания достигала максимально возможной для данных весов величины в 100 миллиграмм.»

Действие на подвешенные предметы

- «В тех случаях, когда предмет был подвешен, сдвинуть его не удавалось. В опытах было продемонстрировано воздействие на висящую чашку торсионных весов, однако однозначно установить, на что происходило воздействие (на чашку или стержень, проходящий через щель) не удавалось.»

Движение стрелки компаса

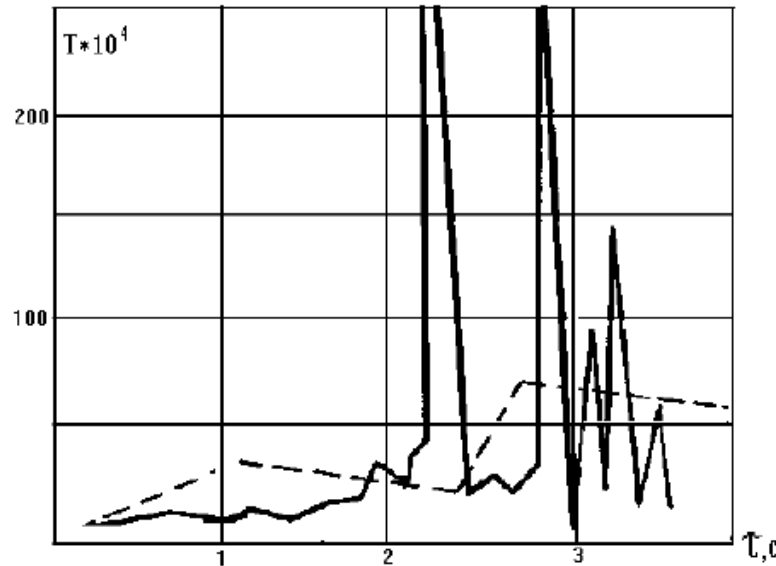
- «Расстояние от рук оператора до компаса составляло около 30 см, при воздействии оператора пассами рук стрелка компаса вначале скачком поворачивалась на угол примерно 45 градусов, а затем вращалась и совершала 3-4 оборота.»

Воздействие на железные и медные опилки

- Опилки ровным равномерным слоем насыпались на деревянную поверхность стола и накрывались калькой, железные и медные опилки отдельно
- Пассы руками на расстоянии 30...50 см от поверхности стола
- «...железные и медные опилки изменили свою конфигурацию: слой опилок стал хаотическим, т.е. образовались в отдельных местах сгущения и разряжения слоя.».

Измерения магнитометрами

- Не было найдено постоянного магнитного поля > 50 нТ (обычный биомагнетизм)
- Реагировал германиевый датчик Холла (зонд прибора E11-3): импульсы до $\sim 0,01$ Т.



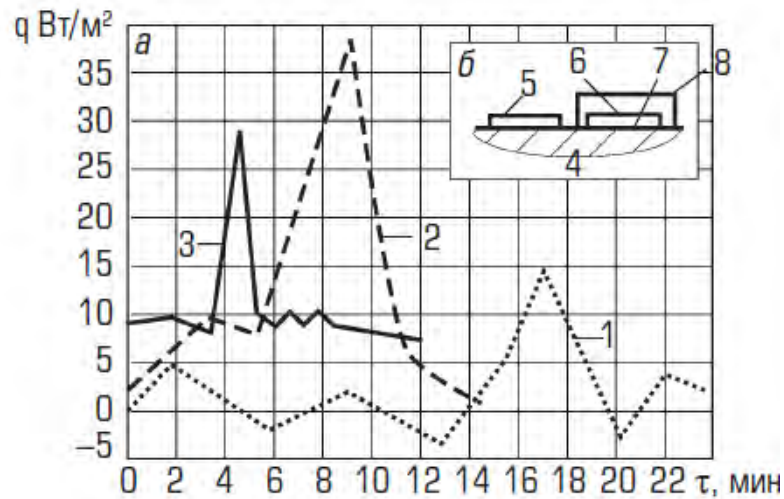
Магнитная мешалка

- Стандартная магнитная мешалка ММ-3М, вращающееся магнитное поле под металлической поверхностью
- Н.Кулагина не знала, включена ММ или выключена
- Удавалось двигать предмет на поверхности ММ, только когда вращающееся магнитное поле было выключено

Исследование тепловых эффектов

- Датчик теплового потока
- Термографирование тепловизором типа «Рубин-2»
- Термопары, ртутный термометр
- Заметного изменения температуры ни у оператора, ни у субъекта воздействия не было
- Датчик теплового потока показывал изменения при неизменной температуре

Измерение теплового потока



- 4 – стол
- 5 – компас
- 6 – тепломер
- 7 – термопара
- 8 – крышка из оргстекла

Рис. 6. Схематическое изображение изменения теплового потока от руки оператора (а); модель крепления датчика (б).

- 1 – воздействие Н. Кулагиной (без изменения t)
- 2 – воздействие И. Казанджиева (без изменения t)
- 3 – воздействие Г. Здравкова (с изменением t)

Рассеивание луча лазера в газе и вакууме

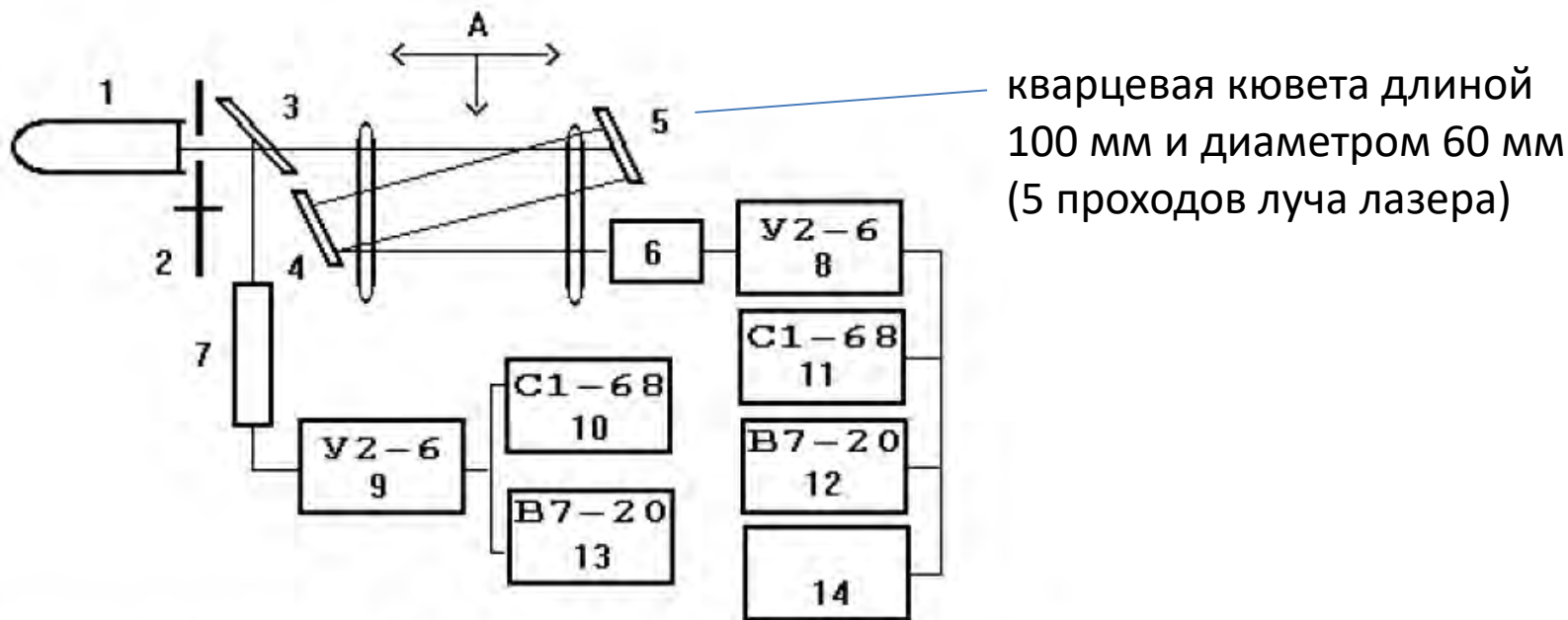


Рис.4. Экспериментальная установка для изучения воздействия на лазерное излучение.

А-оператор, В-кювета.

Источники:

- Лазеры ЛГ-126, ЛГ-23 с длиной волны 0.63, 1.15, 10.6 мкм
- Клистрон с длиной волны 4 мм

Среды:

- Воздух, азот, углекислый газ
- Вакуум

Эффекты

- Не было зарегистрировано ослабления излучения на длинах волн 0.63 и 1.15 мкм
- Зарегистрировано существенное ослабление излучения с длиной волны 10.6 мкм и 4 мм при заполнении кюветы воздухом, азотом и CO_2
- Не наблюдали ослабления зондирующего излучения при воздействии на откачанную кювету.

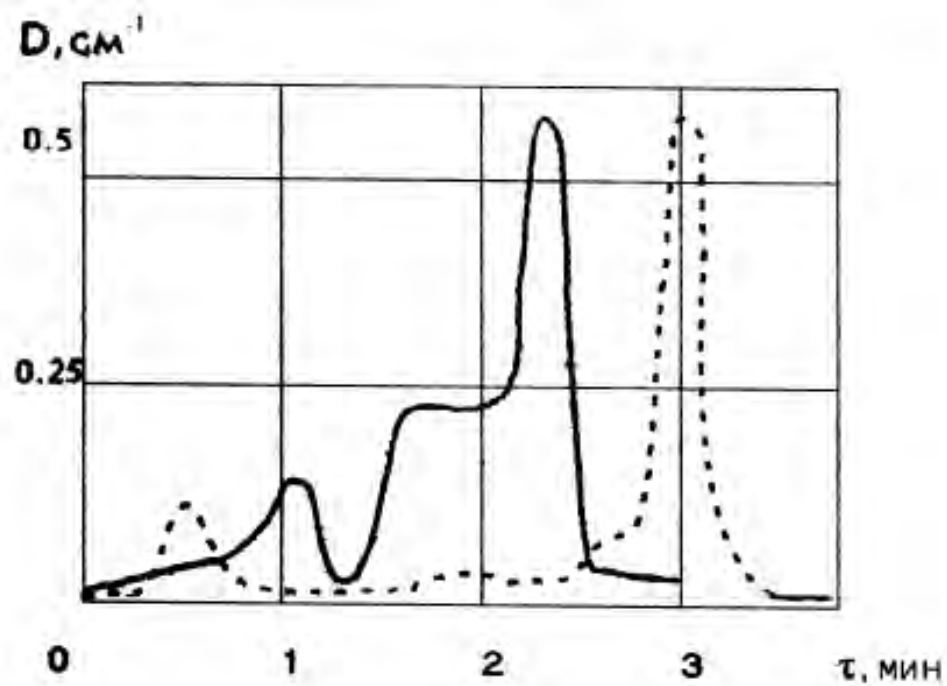


Рис.3. Изменение во времени коэффициента лазерного излучения

Воздействие на жидкую среду

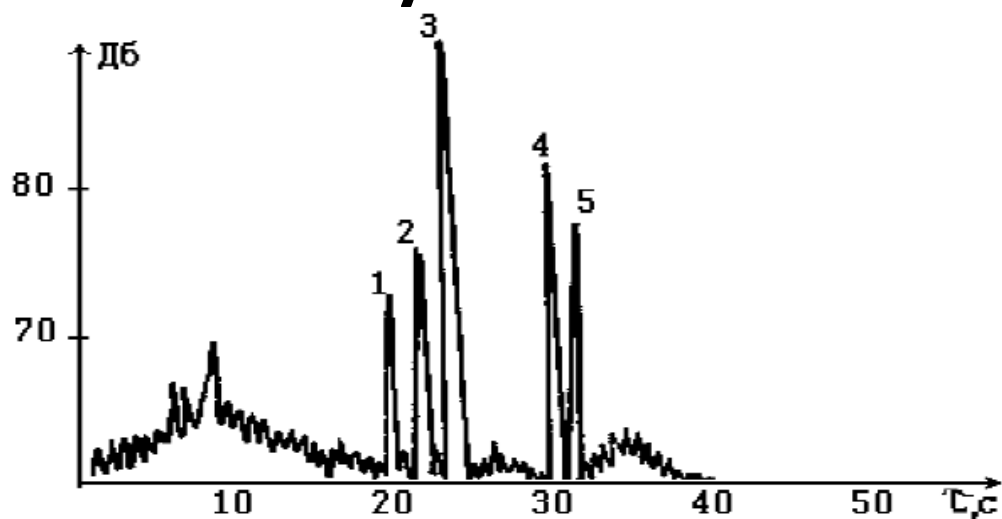


Рис.6.Схема установки с использованием He-Ne лазера.

«Кювету длиной 40 см заполняли раствором красителя PGG в спирте. Оператор по команде воздействовал на кюветы пассами рук с расстояния 3-50 см. Эффект воздействия проявлялся в визуально наблюдаемых "вспышках" рассеяния на возникающих неоднородностях в области воздействия, а также в сильном мерцании лазерного пятна на экране.

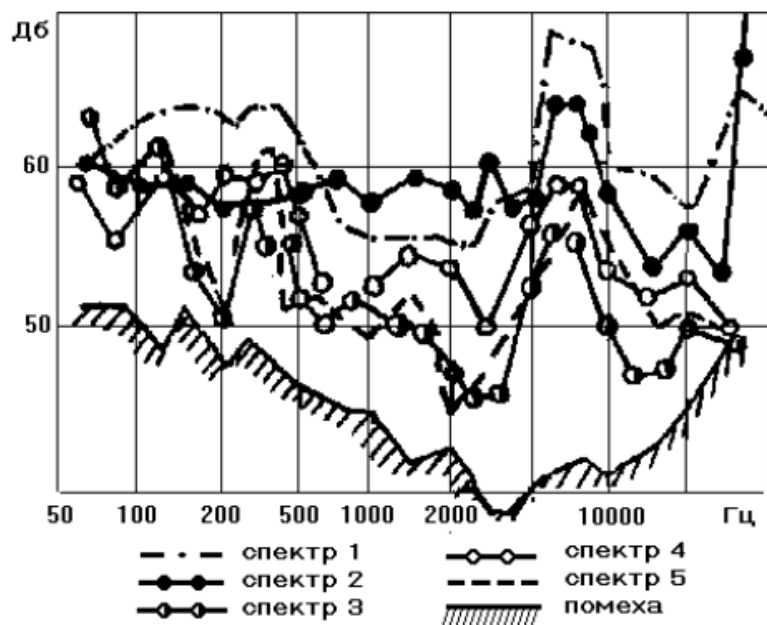
По визуальным оценкам указанные неоднородности имели вид тонких нитевидных частиц или образований размером порядка 1 мм. Появление образований хорошо коррелировало во времени с повышением уровня шума в регистрационном канале. Другие экстрасенсы не были в состоянии вызвать подобный эффект.»

Акустическое воздействие



Применялся микрофон, импульсный шумомер, измерительный магнитофон.

Микрофон находился на расстоянии 5-12 см от ладоней оператора, причем их поверхность образовывала как бы сферу вокруг него.



Длительность зарегистрированных импульсов колебалась от 3×10^{-4} с до 10^{-2} с, а величина пиковых значений их амплитуд - от 70 до 90 дБ.

Расчеты показали, что шум в 90 дБ создает давление примерно $0,1 \text{ г/см}^2$.

Другие эффекты

- «Пережигание» ацетатной нити
- Засветка рентгеновской плёнки в пакете из черной бумаги, в обертке из алюминиевой фольги, под 2 мм листом свинца
- Адресное движение выбранной спички в куче таких же спичек
- Левитация теннисного шарика и других предметов весом до 2-5 г
- «Обратная связь» от предмета к Н. Кулагиной
- Образование проводящего канала в воздухе между металлическими пластинами

Ещё из того же фильма



Электрическое биошунтирование

- Увеличение проводимости 15 мм воздушного зазора изолированного от внешней среды коробкой из оргстекла с толщиной стенок 6 мм при действующем напряжении 9 В, составило 10^{12} раз. Ток проводимости зазора в пиках длительностью до 1 сек. повышался до 200 мА
- В специально спланированных экспериментах Н. Кулагина была способна целенаправленно снимать электростатический заряд с поверхности оргстекла.

О нитевидных каналах

«...Эти результаты наводят на мысль о том, что силовое воздействие осуществляется через тонкие нитевидные каналы. И действительно, в ходе анализа фото- кинопленок и видеозаписей экспериментов по психокинезу это предположение нашло подтверждение. Тончайшие нитевидные образования имеют вид пунктирных каналов или миниатюрных блестящих четок. При перемещении предметов они исходят из рук оператора по направлению к объекту, имеют различную толщину и светояркий контраст. Именно контраст, а не свечение, т.к. морфологию каналов можно наблюдать только в отраженном свете при ярком внешнем освещении. Они не являются самосветящимися объектами или искровыми разрядами, а представляют собой движущиеся материальные частицы...»

Ю.Н. Чередниченко. Необходимость сознания или осознанное творение:
Где искать точки коммутации физического и психического.

Странное излучение (СИ)

- Изучается более 20 лет
- Нет общепризнанной теории
- Парадоксальные свойства:
 - Парадокс стенок реактора
 - Треки-близнецы
 - Зеркальные треки

Гипотеза

- Оба феномена имеют общую природу
- Н. Кулагина была сильным источником странного излучения и научилась им управлять
- Так же как и в СИ, в К-феномене твёрдые микрочастицы действуют на различные предметы и приборы
- На данном этапе мы не можем объяснить оба эффекта, но можем рассмотреть некоторые параллели и аналогии

Силовое воздействие странного излучения

- Треки образованы твердыми частицами
- Частицы прижимаются к поверхности некоторыми силами
- Порядок сил 0.001 Н на один трек
- Группа треков: порядка 10 шт., 1 см²
0.01 Н ~ 1 г

Откуда берутся и куда исчезают частицы, образующие треки?

- Для образования твердых частиц необходима среда плюс некоторый неизвестный фактор, который есть в ближней зоне источника СИ
- Твёрдые частицы – лишь промежуточная короткоживущая фаза феномена

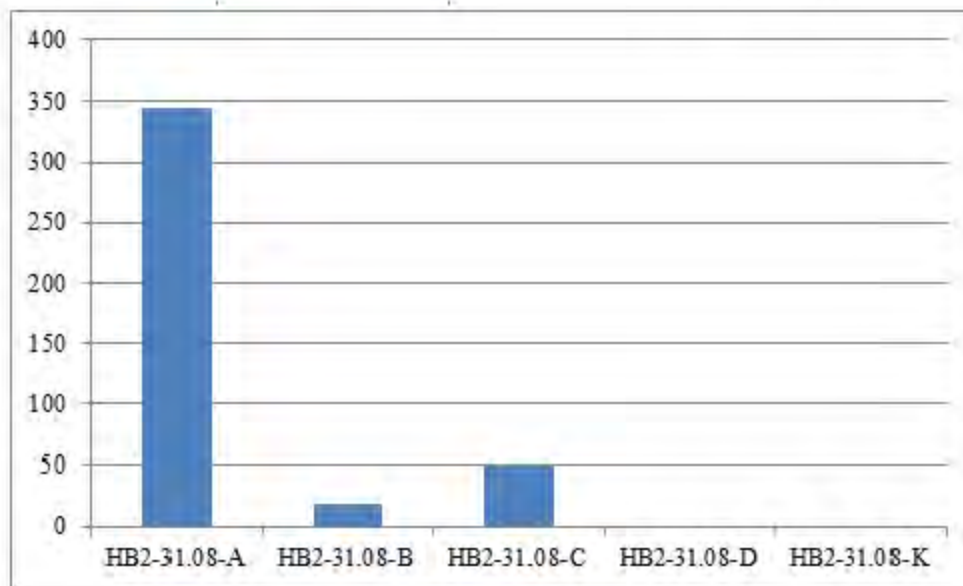
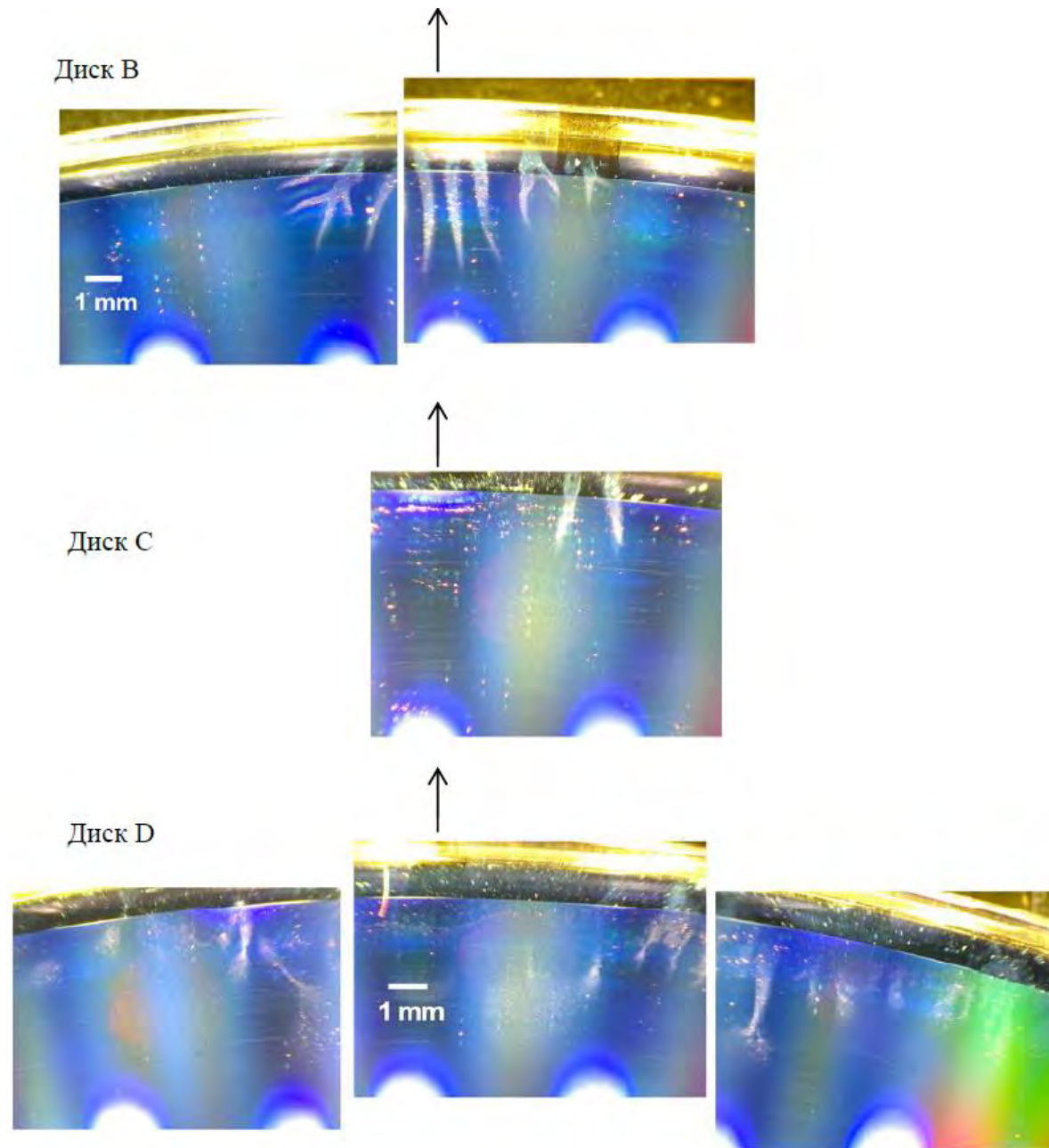
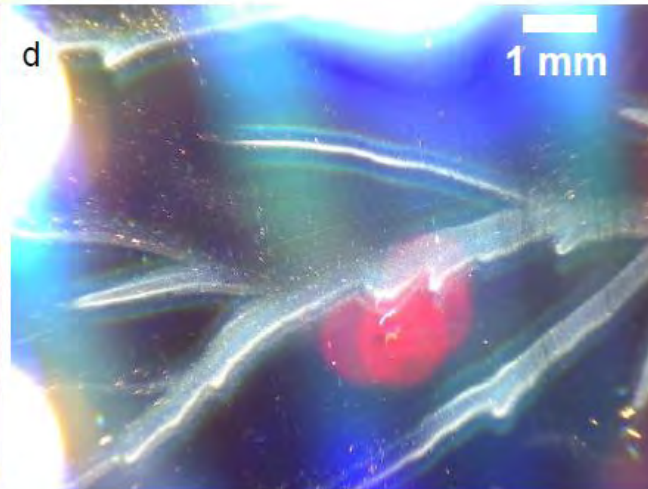
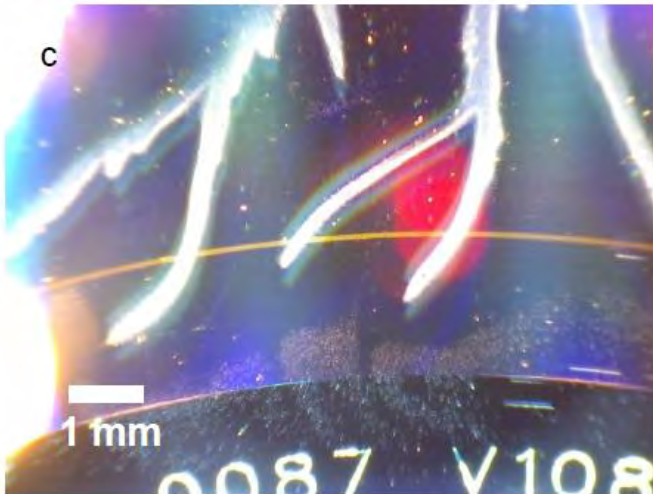
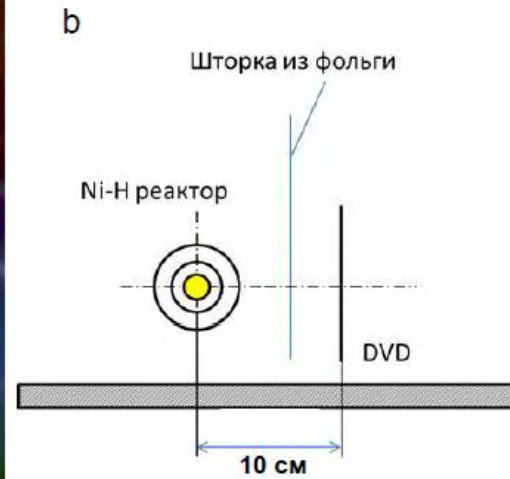
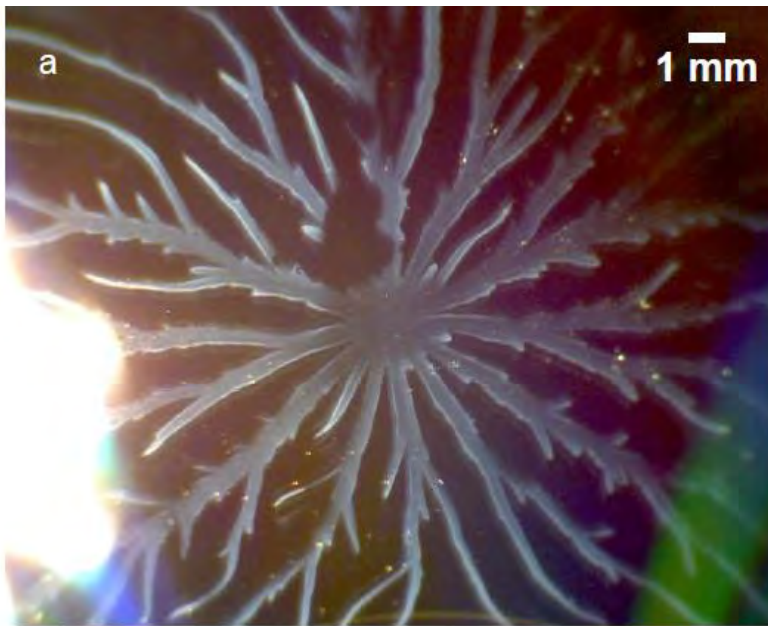


Рис. 11. Схема экспозиции 31.08-10.09 у реактора НВ и её результаты по дискам (суммарная длина треков, мм).



Диффузные пятна на дисках В, С, D, край, примыкающий к поверхности реактора. Стрелкой показано направление на реактор.



Диффузное пятно на поверхности диска DVD28 (2018 год), экспозиция у Ni-H реактора: (a) - общий вид, (b) – схема экспозиции, (c, d) - детали.

Некоторые параллели

К-феномен:

Движение предметов за преградами

Магнитная мешалка «мешает» движению

Импульсные реакции различных измерительных приборов

Движение предметов в целевом направлении

Засветка рентгеновской плёнки в конвертах

Требуемые силы $\sim 1...10$ г

Защитное действие на мышей с летальной дозой гамма-радиации

Отсутствие эффектов в вакууме

Странное излучение:

Образование треков за пределами реакторов

Действие магнитного поля на странное излучение

Срабатывание различных детекторов вблизи источников СИ

Треки образуются при любом расположении чувствительного материала

Треки на фотоплёнках в оболочках

Силы ~ 1 г на см^2

Тот же эффект от СИ

?

Об интенсивности СИ

- Типичная экспозиция дисков – около недели
- Средняя суммарная длина треков на один диск: ~1000 мм
- Оценка средней длины трека: ~5 мм
- Среднее число треков: ~200 треков на диск
- Число треков в группе ~10
- В среднем за 8 часов образуется одна группа треков

Выводы

- Принимая за гипотезу общую природу СИ и К-феномена, можно поставить эксперименты, аналогичные проведённым с Н.С. Кулагиной в 60-е – 80-е годы:
 - Кинетические
 - Акустические
 - Тепловые
 - Магнитные
 - Оптические
- Надо искать высокоинтенсивные источники СИ

Литература

1. Г.Н. Дульнев и др. Исследование К-феномена // Парапсихология и психофизика, 1992, №5, с.35-51.
2. Г.Н. Дульнев. К-феномен - вызов современной науке // Парапсихология и психофизика, 2000, №1, с.3-12.
3. Г.Н. Дульнев. В поисках нового мира. Весь, 2004 г.
4. Ю.Н. Чередниченко. Необходимость сознания или осознанное творение: Где искать точки коммутации физического и психического.
<https://web.archive.org/web/20160310014016/http://www.sinor.ru/~che/PK.pdf>
5. «9 лет с экстрасенсами. Фильм 2». Киевнаучфильм, 1990 г.
<https://youtu.be/Z1evmPihhfM?t=2089>
6. Э.С. Горшков, В.В. Кулагин, О возможном механизме воздействия оператора на магнитоизмерительные системы. Биофизика, 1995, 40, Вып. 5, ст. 1025-1030.
7. Г.Н. Дульнев, В.Т. Прокопенко, О.С. Полякова. Оптические методы исследования пси феноменов // Парапсихология и психофизика, 1993, №1, С.39-44.
8. Г.Н. Васильева, Г.Н. Дульнев, Б.Л. Муратова, О.С. Полякова. Тепловой поток как показатель энергоинформационного обмена субъектов // Парапсихология и психофизика. 1993, №2, с.24-35.
9. Протокол пленарного заседания комиссии по координации работ московских организаций НТО РЭС // ЖФНН, 7(3), стр. 76-79, 2015, <http://www.unconv-science.org/n7/kobzarev/>